

# ЭВОЛЮЦИЯ НЕЛИНЕЙНЫХ ВОЛНОВЫХ ИМПУЛЬСОВ В ТЕОРИИ УРАВНЕНИЯ СИНУС-ГОРДОН

А. М. Камчатнов<sup>а\*</sup>

<sup>а</sup> *Институт спектроскопии Российской академии наук  
108840 Москва, Троицк, Россия*

Поступила в редакцию 27 декабря 2022 г.,  
после переработки 27 декабря 2022 г.  
Принята к публикации 26 января 2023 г.

Дано решение модуляционных уравнений Уизема, описывающих эволюцию огибающих однофазных периодических волн, подчиняющихся уравнению синус-Гордон. Методом годографа задача сведена к линейному уравнению в частных производных и описан класс решений этого уравнения с разделяющимися переменными. Теория иллюстрируется примером, в котором получено полное аналитическое решение задачи о самосжатии нелинейного волнового пакета, которое сопровождается уходом волн из области нелинейных колебаний.

DOI: 10.31857/S0044451023050127  
EDN: BFLYCL

## 1. ВВЕДЕНИЕ

Явление модуляционной неустойчивости нелинейных волн было открыто независимо в нескольких различных физических контекстах: как самофокусировка интенсивных пучков света, распространяющихся в нелинейной среде [1–3], как разбиение газа ленгмюровских плазмонов на отдельные сгустки [4, 5], как самосжатие волновых пакетов для волн в оптике [6] и на глубокой воде [7, 8]. Если начальное распределение физических параметров волны промодулировано достаточно плавными функциями, то в главном приближении динамика модуляций описывается уравнениями гидродинамического типа, для решения которых могут быть использованы методы газовой динамики. Первые примеры такого подхода были даны в теории самофокусировки, когда эволюция пучка света описывается фокусирующим нелинейным уравнением Шредингера, так что модуляционными параметрами служат интенсивность света и поперечное волновое число световой волны, которые подчиняются уравнениям геометрической оптики, эквивалентным гидродинамическим уравнениям для волн на «опрокинутой мелкой воде». Для этого случая В. И. Таланов нашел ре-

шение для пучка с параболическим начальным профилем интенсивности [9], а С. А. Ахманов, А. П. Сухоруков, Р. В. Хохлов [10] — для пучков с начальным профилем интенсивности вида  $\text{ch}^{-2}(x)$ . В работах [11, 12] аналогичный подход был сформулирован независимо от теории НУШ, но также в приближении умеренной амплитуды волны, и в результате модуляционная гидродинамическая система была сведена методом годографа к линейному уравнению эллиптического типа. Примеры решений этого уравнения, описывающих самофокусировку пучков света и самокомпрессию импульсов, были даны в [13] и другие многочисленные примеры можно найти в книге [14].

Естественно, эти решения, предполагающие плавную модуляцию волны, справедливы лишь до момента фокусировки. Кроме того, они неустойчивы относительно малых возмущений, нарушающих плавность профиля волны. Еще в работах [15, 16] было замечено, что в теории фокусирующего НУШ локализованное начальное возмущение однородной плоской волны ведет к образованию расширяющейся со временем промодулированной волновой структуры. Применение модуляционной теории Уизема [17–20] к описанию эволюции этой структуры показало [21–23], что фронт неустойчивости движется с минимальной групповой скоростью действительной ветви закона дисперсии, и этот результат был подтвержден в [24] в рамках метода обратной задачи рассеяния для НУШ. Обобщение

\* E-mail: kamch@isan.troitsk.ru

[25] этой теории на неоднородные эволюционирующие волны позволило найти закон движения границ области нелинейных осцилляций для произвольных плавных начальных профилей неустойчивого импульса.

Описанные выше результаты основаны на том, что в главном приближении волна является линейной, так что нелинейность вносит лишь небольшую, зависящую от амплитуды, поправку в закон дисперсии. В геометро-оптическом приближении это эквивалентно зависимости показателя преломления среды от интенсивности света, и тогда уравнения геометрической оптики для пучков света, распространяющихся в фокусирующей среде, превращаются в гидродинамические уравнения для «опрокинутой мелкой воды», простота которых позволяет использовать хорошо разработанные методы газовой динамики. Ситуация меняется, однако, в случае известного нелинейного уравнения Клейна-Гордона

$$\varphi_{tt} - \varphi_{xx} + U'(\varphi) = 0, \quad U' = \frac{dU}{d\varphi}, \quad U'(0) = 0, \quad (1)$$

имеющего многочисленные приложения к физическим задачам, особенно в частном случае так называемого уравнения синус-Гордон с  $U'(\varphi) = \sin \varphi$  (см., например, [26, 27] и имеющиеся там ссылки). Это уравнение имеет решения в виде нелинейных периодических волн  $\varphi = \varphi(A, kx - \omega t)$ , для которых зависимость частоты  $\omega$  от амплитуды волны  $A$  уже не может считаться малой поправкой. В промодулированной волне ее амплитуда  $A$  и фазовая скорость  $V = \omega/k$  становятся медленными функциями координаты  $x$  и времени  $t$ , мало изменяющимися на одной длине волны и за один период. Соответствующие модуляционные уравнения, определяющие динамику  $A$  и  $V$ , были получены Уиземом [17, 18]. В работе [28] на основе метода усреднения Боголюбова-Митропольского было указано, что уравнения квазиклассической асимптотики для (1), совпадающие с уравнениями Уизема, эквивалентны уравнениям релятивистской гидродинамики (см. также обзор [29]). Существенно, что в наиболее интересном случае уравнения синус-Гордон эта динамика снова оказывается модуляционно неустойчивой, однако как ввиду сложности уравнения состояния, отвечающего закону дисперсии  $\omega = \omega(k, A)$  для волн в «эффективной релятивистской материи», так и сложности уравнений релятивистской гидродинамики, задача об эволюции нелинейных волновых пакетов в теории уравнения синус-Гордон пока детально не исследовалась.

Целью настоящей работы является развитие метода решения модуляционных уравнений Уизема для однофазных периодических волн, эволюция которых подчиняется уравнению синус-Гордон. Ранее уравнения релятивистской гидродинамики изучались в теории множественного рождения частиц при ультрарелятивистских столкновениях ядер и нуклонов [30–33]. Мы покажем, что развитые в этих работах методы, использующие крайне простое уравнение состояния ультрарелятивистской материи  $p = e/3$  ( $p$  — давление,  $e$  — плотность энергии), могут быть модифицированы применительно к существенно более сложному случаю уравнения синус-Гордон. В результате будет выведено линейное уравнение в частных производных, определяющее решение уравнений релятивистской гидродинамики в методе годографа, и описан класс решений этого уравнения с разделяющимися переменными. Теория будет проиллюстрирована примером самосжатия нелинейного волнового пакета, когда его эволюция демонстрирует уход волн из области нелинейных осцилляций через малоамплитудный край этой области.

## 2. УРАВНЕНИЯ УИЗЕМА

Приведем здесь основные соотношения модуляционной теории Уизема [17, 18] для нелинейного уравнения Клейна-Гордона (1). Легко видеть, что это уравнение имеет решения в виде бегущей волны  $\varphi = \varphi(\xi)$ ,  $\xi = x - Vt$ , где  $\varphi(\xi)$  определяется неявно уравнением

$$\xi - \xi_0 = \sqrt{\frac{V^2 - 1}{2}} \int_{\varphi_0}^{\varphi} \frac{d\varphi}{\sqrt{A - U(\varphi)}}, \quad (2)$$

так что  $V$  и постоянная интегрирования  $A$  являются постоянными параметрами,  $\varphi(\xi_0) = \varphi_0$ , и переменная  $\varphi$  осциллирует между двумя корнями уравнения  $A - U(\varphi) = 0$  в интервале положительности подкоренного выражения. Следуя Уизему [17, 18], мы определяем функцию

$$W(V, A) = \sqrt{2(V^2 - 1)} \oint \sqrt{A - U(\varphi)} d\varphi \equiv \sqrt{V^2 - 1} G(A), \quad (3)$$

где интеграл берется по контуру вокруг указанного интервала положительности подкоренного выражения. Тогда длина волны найденного периодического решения выражается формулой

$$L = \frac{\partial W}{\partial A} = \sqrt{V^2 - 1} G'(A). \quad (4)$$

Мы определяем волновое число  $k$  как величину, обратную длине волны,  $k = 1/L$ , так что  $k^2(V^2 - 1) = (G')^{-2}$ , и получаем для частоты  $\omega = kV$  закон дисперсии

$$\omega^2 = k^2 + (G'(A))^{-2}, \quad (5)$$

существенным образом зависящий от амплитуды  $A$ . Групповая скорость определяется выражением

$$v = \left( \frac{\partial \omega}{\partial k} \right)_A = \frac{k}{\omega} = \frac{1}{V}. \quad (6)$$

В промодулированной волне параметры  $V$  и  $A$  становятся медленными функциями координаты  $x$  и времени  $t$ , и их эволюция подчиняется модуляционным уравнениям Уизема [17, 18], которые могут быть записаны в наших обозначениях в виде

$$\begin{aligned} \left( \frac{kV}{V^2 - 1} + A \right)_t + \left( \frac{kVW}{V^2 - 1} \right)_x &= 0, \\ \left( \frac{kVW}{V^2 - 1} \right)_t + \left( \frac{kV^2W}{V^2 - 1} - A \right)_x &= 0. \end{aligned} \quad (7)$$

Для перехода к релятивистской интерпретации этих уравнений удобно исключить из них  $W$  и  $V$  с помощью формул (3) и (6), и тогда мы получаем

$$\begin{aligned} \left( \frac{G/G'}{1 - v^2} + A - \frac{G}{G'} \right)_t + \left( \frac{(G/G')v}{1 - v^2} \right)_x &= 0, \\ \left( \frac{(G/G')v}{1 - v^2} \right)_t + \left( \frac{(G/G')v^2}{1 - v^2} - A + \frac{G}{G'} \right)_x &= 0. \end{aligned} \quad (8)$$

Линеаризация этих уравнений относительно малых отклонений от постоянных значений  $A$  и  $v$  дает характеристические скорости

$$v_{\pm} = \frac{v \pm c}{1 \pm vc}, \quad (9)$$

где  $c$  определяется выражением

$$c^2 = -\frac{GG''}{(G')^2}. \quad (10)$$

В случае положительности этого выражения формулы (9) имеют простой физический смысл: они дают скорости распространения звукового сигнала со звуковой скоростью  $c$  по или против течения «среды», движущейся со скоростью  $v$ , так что в лабораторной системе отсчета скорость сигнала равна релятивистской сумме скоростей.

Уравнения (8) могут быть преобразованы к диагональной форме

$$\frac{\partial r_{\pm}}{\partial t} + v_{\pm} \frac{\partial r_{\pm}}{\partial x} = 0 \quad (11)$$

введением римановых инвариантов

$$r_{\pm} = \int^v \frac{dv}{1 - v^2} \pm \int^A \frac{cG'}{G} dA, \quad (12)$$

что существенно упрощает решение задач в случае вещественности скорости звука  $c$  (положительности выражения в правой части (10)). Нас, однако, будет интересовать противоположный случай мнимой «скорости звука»  $c$ , для чего необходимо обсудить более детально свойства релятивистской гидродинамики для модели синус-Гордона.

### 3. РЕЛЯТИВИСТСКАЯ ГИДРОДИНАМИКА ДЛЯ НЕЛИНЕЙНОГО УРАВНЕНИЯ КЛЕЙНА–ГОРДОНА

Еще Уизем в своей основополагающей работе [17] заметил, что процедура усреднения законов сохранения волнового движения по быстрым осцилляциям аналогична переходу от микроскопического описания движения среды в статистической механике к ее усредненному гидродинамическому описанию, справедливому при условии малости градиентов физических параметров, характеризующих среду. В нашем случае такими параметрами служат  $A$  и  $V$ , уравнение (1) релятивистски инвариантно, так что естественно ожидать, что после усреднения законов сохранения мы должны прийти к уравнениям релятивистской гидродинамики. В рамках асимптотического метода ВКБ это было показано в работе [28]. Однако для записи уравнений Уизема (8) в форме уравнений релятивистской гидродинамики удобнее исходить из закона сохранения энергии-импульса в релятивистском течении (см. [34]):

$$\frac{\partial T^{00}}{\partial t} + \frac{\partial T^{10}}{\partial x} = 0, \quad \frac{\partial T^{10}}{\partial t} + \frac{\partial T^{11}}{\partial x} = 0, \quad (13)$$

где

$$T^{ij} = wu^i u^j - pg^{ij}, \quad i, j = 1, 2, \quad (14)$$

— тензор энергии импульса в двумерном пространстве Минковского с метрикой

$$g^{ij} = \begin{pmatrix} 1 & 0 \\ 0 & -1 \end{pmatrix}, \quad (15)$$

$w = e + p$  — тепловая функция на единицу объема,  $e$  — плотность энергии,  $p$  — давление,  $u^i$  — двумерный вектор «4-скорости». Для отождествления уравнений Уизема (8) с уравнениями (13) мы вводим стандартным образом 4-вектор  $u^i$ :

$$u^0 = \frac{1}{\sqrt{1 - v^2}}, \quad u^1 = \frac{v}{\sqrt{1 - v^2}}, \quad (16)$$

и тогда легко видеть, что уравнения (8) и (13) совпадают, если

$$\begin{aligned} T^{00} &= \frac{w}{1-v^2} - p = \frac{G/(2G')}{1-v^2} + \frac{A}{2} - \frac{G}{2G'}, \\ T^{10} = T^{01} &= \frac{wv}{1-v^2} = \frac{(G/(2G'))v}{1-v^2}, \\ T^{11} &= \frac{wv^2}{1-v^2} + p = \frac{G/(2G')}{1-v^2} - \frac{A}{2} + \frac{G}{2G'}, \end{aligned} \quad (17)$$

где мы поделили для дальнейшего удобства уравнения (8) на 2. Отсюда следует связь амплитуды волны  $A$  с термодинамическими функциями эффективной материи, подчиняющейся гидродинамическим уравнениям (13):

$$e = \frac{A}{2}, \quad p = \frac{G}{2G'} - \frac{A}{2}, \quad w = e + p = \frac{G}{2G'}. \quad (18)$$

Существенно, что давление  $p$  зависит только от плотности энергии  $e$ . Это означает, что масса частиц эффективной материи пренебрежимо мала, хотя уравнение состояния  $p = p(e)$  определяется существенно более сложной формулой, чем обычно предполагаемое уравнение состояния  $p = e/3$  для ультра-релятивистской материи (см. [30–33]). Легко видеть, что выражение (10) для скорости звука можно записать в стандартном виде

$$c^2 = \frac{dp}{de}. \quad (19)$$

Температуру  $T$  и плотность энтропии  $\sigma$  эффективной материи можно определить следующим образом. В случае безмассовых частиц химический потенциал равен нулю, так что тепловая функция выражается формулой  $w = T\sigma$ , а из соотношения  $dw = Td\sigma + dp = d(T\sigma)$  следует  $dp = \sigma dT$  (см. [35]). Следовательно, квадрат скорости звука можно записать двумя способами: из (10) и (18) находим

$$c^2 = -w \frac{d^2G/de^2}{dG/de},$$

а из формулы (19) с учетом  $dp = \sigma dT = (w/T)dT$  имеем

$$c^2 = \frac{w}{T} \frac{dT}{de}.$$

Сравнение этих двух выражений дает формулы

$$T = \gamma \left( \frac{dG}{de} \right)^{-1}, \quad \sigma = \frac{1}{\gamma} G(e), \quad (20)$$

где постоянный множитель  $\gamma$  имеет в обеих формулах одно и то же значение. Отсюда следует соотношение

$$d\sigma = \frac{1}{\gamma} \frac{dG}{de} de = \frac{de}{T}, \quad (21)$$

согласующееся со стандартным термодинамическим определением энтропии.

В переменных  $T, \sigma, u^i$  гидродинамические уравнения можно записать в особенно простом виде. Замечаем, что формулы для волнового числа  $k = 1/L$  и частоты  $\omega = kV = k/v$  переходят в

$$\begin{aligned} k &= 2u^1 \left( \frac{dG}{de} \right)^{-1} = \frac{2}{\gamma} u^1 T, \\ \omega &= k \frac{u^0}{u^1} = \frac{2}{\gamma} u^0 T. \end{aligned} \quad (22)$$

Следовательно, следующий из уравнений (7) закон сохранения числа волн (см. [17, 18])

$$k_t + \omega_x = 0 \quad (23)$$

переходит в

$$(u^1 T)_t + (u^0 T)_x = 0. \quad (24)$$

Отметим, что это соотношение было получено И. М. Халатниковым [31] из уравнений (13) для любого одномерного течения, что доказывает его потенциальность. В теории Уизема уравнение (23) следует из того, что волновое число и частота определены как производные фазы:  $k = \theta_x, \omega = -\theta_t$ . Как мы видим, обе картины — модуляционная уиземовская и релятивистская гидродинамическая — математически согласованы друг с другом, differing лишь обозначениями и физическим смыслом переменных.

Еще одно уравнение легко получаем из формулы

$$\frac{\partial(wu^i)}{\partial x^i} - u^i \frac{\partial p}{\partial x^i} = 0, \quad (25)$$

являющейся следствием уравнений (13), (14) (см. формулу (134.5) и задачу 2 в §134 книги [34]). Подстановка в нее  $w = T\sigma, dp = \sigma dT$  мгновенно дает уравнение

$$\frac{\partial(\sigma u^0)}{\partial t} + \frac{\partial(\sigma u^1)}{\partial x} = 0, \quad (26)$$

выражающее сохранение энтропии, то есть адиабатичность течения.

Конкретизируем эти соотношения для уравнения синус-Гордон, когда в (1)

$$U'(\varphi) = \sin \varphi, \quad U(\varphi) = 1 - \cos \varphi. \quad (27)$$

В этом случае интеграл в (2) сводится к эллиптическому интегралу первого рода и его обращение дает периодическое решение в явном виде

$$\begin{aligned} \varphi &= 2 \arcsin \left[ \sqrt{e} \operatorname{sn} \left( \frac{\xi - \xi_0}{\sqrt{V^2 - 1}}, e \right) \right] = \\ &= 2 \arcsin \left[ \sqrt{e} \operatorname{sn} \left( \frac{v(x - x_0) - t}{\sqrt{1 - v^2}}, e \right) \right]. \end{aligned} \quad (28)$$

При  $e \rightarrow 1$  это решение переходит в известное решение уравнения синус-Гордон в виде «кинка»,

$$\varphi = 2 \arcsin \left[ \sqrt{e} \operatorname{th} \left( \frac{v(x - x_0) - t}{\sqrt{1 - v^2}} \right) \right], \quad (29)$$

то есть волны, переходящей от значения  $\varphi = -\pi$  при  $x \rightarrow -\infty$  к значению  $\varphi = \pi$  при  $x \rightarrow +\infty$ . Вычисление интеграла в (3) с помощью подстановки  $\sin(\varphi/2) = \sqrt{e} \sin \psi$  дает

$$\begin{aligned} G(e) &= 2\sqrt{2} \int_{-\varphi_0}^{\varphi_0} \sqrt{2e - 1 + \cos \varphi} d\varphi = \\ &= 16\{E(e) - (1 - e)K(e)\}, \end{aligned} \quad (30)$$

где  $K(e), E(e)$  — полные эллиптические интегралы первого и второго рода, соответственно, определенные здесь согласно справочнику [36] ( $\pm\varphi_0$  являются нулями подынтегрального выражения). Выбирая для постоянной  $\gamma$  в (20) значение  $\gamma = 8$  и используя известные формулы для производных эллиптических интегралов по параметру  $e$ ,

$$\frac{dK}{de} = \frac{E - (1 - e)K}{2e(1 - e)}, \quad \frac{dE}{de} = \frac{E - K}{2e}, \quad (31)$$

мы находим выражения для термодинамических функций

$$T = \frac{1}{K}, \quad \sigma = 4e(1 - e) \frac{dK}{de} = 2[E - (1 - e)K]. \quad (32)$$

Уравнение состояния  $p = p(e)$  имеет вид

$$p = 2 \left( \frac{E(e)}{K(e)} - 1 \right) + e. \quad (33)$$

Квадрат скорости звука

$$c^2 = -4e(1 - e) \left( \frac{1}{K} \frac{dK}{de} \right)^2 \quad (34)$$

отрицателен в области  $0 \leq e < 1$  существования периодических решений, то есть модуляционная система Уизема отвечает модуляционной неустойчивости периодической волны. Соответственно римановы инварианты (12) являются комплексными:

$$r_{\pm} = \frac{1}{2} \ln \frac{1 + v}{1 - v} \pm i \arcsin \sqrt{e}. \quad (35)$$

Тем не менее, подобно теории НУШ, эволюция плавных распределений модуляционных параметров подчиняется гидродинамическим уравнениям (24), (26), решение которых может быть получено преобразованием годографа.

#### 4. ПРЕОБРАЗОВАНИЕ ГОДОГРАФА

Для проведения преобразования годографа вводим вместо скорости  $v$  «быстроту»  $y$  согласно уравнениям

$$u^0 = \operatorname{ch} y, \quad u^1 = \operatorname{sh} y, \quad v = \operatorname{th} y, \quad (36)$$

а также переходим к переменным светового конуса

$$x_- = t - x, \quad x_+ = t + x. \quad (37)$$

Тогда уравнение (24) приобретает вид

$$\frac{\partial}{\partial x_-} \left( \frac{e^{-y}}{K(e)} \right) - \frac{\partial}{\partial x_+} \left( \frac{e^y}{K(e)} \right) = 0, \quad (38)$$

и оно удовлетворяется, если

$$\frac{e^{-y}}{K(e)} = \frac{\partial \phi}{\partial x_-}, \quad \frac{e^y}{K(e)} = \frac{\partial \phi}{\partial x_+} \quad (39)$$

для некоего потенциала  $\phi = \phi(x_-, x_+)$ . Теперь, следуя Халатникову [31], мы делаем преобразование Лежандра, переходя к потенциалу  $\mathcal{W} = \mathcal{W}(e, y)$ ,

$$\mathcal{W} = \phi - K^{-1}e^y x_- - K^{-1}e^{-y} x_+, \quad (40)$$

так что

$$\begin{aligned} d\mathcal{W} &= - \frac{dK^{-1}}{de} (e^y x_- + e^{-y} x_+) de - \\ &- \frac{1}{K} (e^y x_- - e^{-y} x_+) dy, \end{aligned} \quad (41)$$

откуда

$$\begin{aligned} x_- &= - \frac{e^{-y}}{2} \left( \frac{1}{dK^{-1}/de} \frac{\partial \mathcal{W}}{\partial e} + K \frac{\partial \mathcal{W}}{\partial y} \right), \\ x_+ &= - \frac{e^y}{2} \left( \frac{1}{dK^{-1}/de} \frac{\partial \mathcal{W}}{\partial e} - K \frac{\partial \mathcal{W}}{\partial y} \right). \end{aligned} \quad (42)$$

Эти формулы осуществляют преобразование годографа: если функция  $\mathcal{W} = \mathcal{W}(e, y)$  известна, то они дают в неявном виде зависимость  $e$  и  $y$  от переменных (37) и тем самым от  $x$  и  $t$ .

Уравнение (26) после замен (36), (37) переходит в

$$\begin{aligned} \frac{\partial(\sigma e^{-y})}{\partial x_-} + \frac{\partial(\sigma e^y)}{\partial x_+} &= \\ &= \frac{\partial(\sigma e^{-y}, x_+)}{\partial(x_-, x_+)} + \frac{\partial(x_-, \sigma e^y)}{\partial(x_-, x_+)} = 0. \end{aligned} \quad (43)$$

Умножая его на якобиан  $\partial(x_-, x_+)/\partial(e, y)$ , получаем после простых преобразований с учетом формул (32) и  $d\sigma/de = 1/T = K(e)$  уравнение для  $\mathcal{W}$ :

$$\frac{\partial}{\partial e} \left[ e(1 - e)K^2 \frac{\partial \mathcal{W}}{\partial e} \right] + \frac{K^2}{4} \frac{\partial^2 \mathcal{W}}{\partial y^2} = 0 \quad (44)$$

или

$$e(1 - e) \frac{\partial^2 \mathcal{W}}{\partial e^2} + \left( \frac{E(e)}{K(e)} - e \right) \frac{\partial \mathcal{W}}{\partial e} + \frac{1}{4} \frac{\partial^2 \mathcal{W}}{\partial y^2} = 0. \quad (45)$$

Это уравнение является эллиптическим и оно заменяет уравнение Эйлера-Пуассона, возникающее в приложении метода годографа к уравнениям газовой динамики (см., например, [34]). В модуляционно неустойчивой бездисперсионной динамике теории НУШ, описываемой уравнениями опрокинутой мелкой воды, аналогом уравнения (45) оказывается двумерное уравнение Лапласа, записанное в полярных координатах (см., например, [11–13]). Уравнение (44) переходит в это уравнение Лапласа в пределе малых  $e$ .

Важный класс решений уравнения (45) получается после разделения переменных

$$\mathcal{W}(e) = Z(e)Y(y), \quad (46)$$

так что

$$\frac{d^2 Y}{dy^2} = \lambda^2 Y, \quad Y(y) = e^{\pm \lambda y}, \quad (47)$$

и  $Z = Z(e)$  удовлетворяет уравнению

$$e(1 - e) \frac{d^2 Z}{de^2} + \left( \frac{E(e)}{K(e)} - e \right) \frac{dZ}{de} + \frac{\lambda^2}{4} Z = 0. \quad (48)$$

С помощью формул (31) можно проверить, что при  $\lambda^2 = 1$  его решением является функция  $Z = 1/K(e)$ . Поэтому делаем в (48) подстановку

$$Z = \frac{F(e)}{K(e)} \quad (49)$$

и получаем для  $F(e)$  гипергеометрическое уравнение

$$e(1 - e) \frac{d^2 F}{de^2} + (1 - 2e) \frac{dF}{de} + \frac{\lambda^2 - 1}{4} F = 0, \quad (50)$$

решением которого является гипергеометрическая функция  $F = F((1 + \lambda)/2, (1 - \lambda)/2, 1; e)$  (см., например, [36, 37]). Подстановкой  $e = (1 - z)/2$  оно преобразуется к уравнению Лежандра

$$(1 - z^2) \frac{d^2 F}{dz^2} - 2z \frac{dF}{dz} + n(n + 1)F = 0, \quad n = \frac{\lambda - 1}{2}, \quad (51)$$

которое при  $n = 0, 1, 2, \dots$  имеет решения в виде многочленов Лежандра  $P_n(z) = P_n(1 - 2e)$  и функций Лежандра 2-го рода  $Q_n(z) = Q_n(1 - 2e)$ . Ясно, что любая линейная комбинация решений (46) также является решением уравнения (45).

Проиллюстрируем развитую теорию примером.

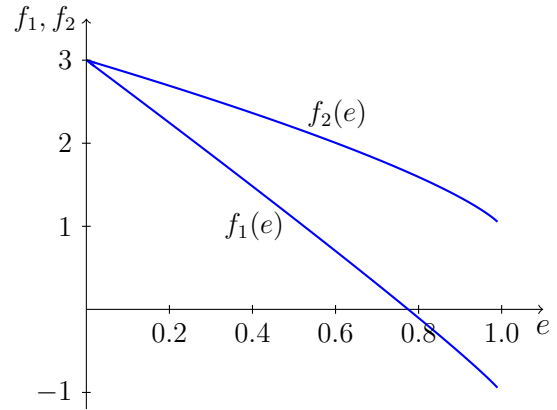


Рис. 1. Графики функций  $f_1(e)$  и  $f_2(e)$ , определенных формулами (54)

### 5. ПРИМЕР: САМОСЖАТИЕ НЕЛИНЕЙНОГО ВОЛНОВОГО ПАКЕТА

Возьмем в качестве примера, иллюстрирующего поведение нелинейных модулированных волн в модели синус-Гордон, решение с  $F = P_1(z) = 1 - 2e$ , то есть с  $n = 1$  и, значит,  $\lambda = 3$ :

$$\mathcal{W}(e, y) = \frac{1 - 2e}{K(e)} e^{3y}. \quad (52)$$

Его подстановка в формулы (42) дает соотношения

$$\begin{aligned} x_- = t - x &= -2f_1(e)e^{2y}, \\ x_+ = t + x &= -f_2(e)e^{4y}, \end{aligned} \quad (53)$$

где

$$\begin{aligned} f_1(e) &= \frac{(1 - 2e)E(e) - (1 - e)(1 - 3e)K(e)}{E(e) - (1 - e)K(e)}, \\ f_2(e) &= -\frac{(1 - 2e)E(e) - (1 - e)K(e)}{E(e) - (1 - e)K(e)}. \end{aligned} \quad (54)$$

Графики этих функций показаны на рис. 1. Их значения при  $e = 0$  и  $e = 1$  равны

$$\begin{aligned} f_1(0) = f_2(0) &= 3, \\ f_1(1) = -1, \quad f_2(1) &= 1, \end{aligned} \quad (55)$$

а разложения вблизи  $e = 0$  имеют вид ( $0 < e \ll 1$ )

$$\begin{aligned} f_1(e) &= 3 - \frac{15}{4}e - \frac{3}{32}e^2 + \dots, \\ f_2(e) &= 3 - \frac{3}{2}e - \frac{3}{16}e^2 + \dots \end{aligned} \quad (56)$$

Формулы (53) задают в неявном виде зависимость переменных  $e$  и  $y$  от  $x$  и  $t$ . Удобно выразить

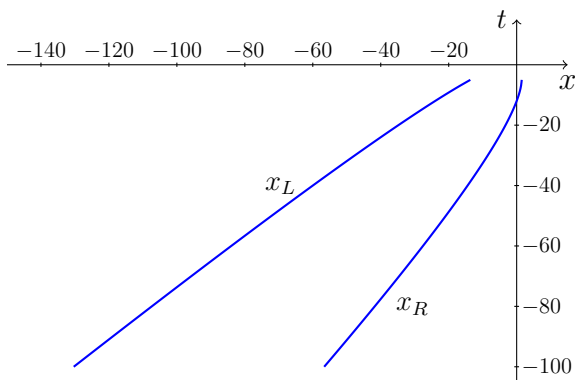


Рис. 2. Траектории левого  $x_L$  и правого  $x_R$  краев нелинейного волнового пакета на плоскости  $(x, t)$  согласно формулам (63) и (61), соответственно.

все функции при фиксированном значении времени  $t$  параметрически, где в качестве параметра выступает переменная  $e$ . В самом деле, из (53) находим

$$2t = -2f_1 e^{2y} - f_2 e^{4y}, \quad 2x = 2f_1 e^{2y} - f_2 e^{4y}, \quad (57)$$

так что первое уравнение дает

$$e^{2y} \equiv \frac{1+v}{1-v} = \sqrt{\left(\frac{f_1}{f_2}\right)^2 - \frac{2t}{f_2} - \frac{f_1}{f_2}}, \quad (58)$$

где мы выбрали положительный корень ввиду положительности функции  $e^{2y}$ . Подстановка  $e^{2y}$  во вторую формулу (57) дает

$$x = x(e) = t + 2f_1 \left( \sqrt{\left(\frac{f_1}{f_2}\right)^2 - \frac{2t}{f_2} - \frac{f_1}{f_2}} \right). \quad (59)$$

Эта формула определяет зависимость  $e$  от  $x$  в фиксированный момент времени  $t$ . Зависимость скорости  $v$  от  $e$  находим из (58):

$$v = v(e) = \frac{\sqrt{f_1^2 - 2f_2 t} - f_1 - f_2}{\sqrt{f_1^2 - 2f_2 t} - f_1 + f_2}. \quad (60)$$

Эта формула вместе с (59) определяет распределение  $v$  по  $x$  в параметрическом виде. Полученные формулы дают частное решение уравнений Уизема об эволюции нелинейного волнового пакета. Обсудим его основные свойства.

Прежде всего из положительности  $f_2$  и ограниченности функций  $f_1, f_2$ , очевидной из рис. 1, мы заключаем, что должно быть  $t < 0$ , то есть пакет был сформирован при достаточно больших по абсолютной величине отрицательных значениях  $t$  и затем он

эволюционирует с уменьшением  $|t|$ . Положив в (59)  $e = 0$ , находим с помощью (55) закон движения малоамплитудного края пакета:

$$x_R(t) = t + 6 \left( \sqrt{1 - 2t/3} - 1 \right). \quad (61)$$

Скорость этого края равна

$$\frac{dx_R}{dt} = 1 - \frac{2}{\sqrt{1 - 2t/3}}, \quad (62)$$

и она как раз совпадает с групповой скоростью (60) при  $e = 0$ :  $dx_R/dt = v(e = 0)$ .

Закон движения противоположного левого края пакета с  $e = 1$  находим из (59), положив в этой формуле соответствующие значения (55):

$$x_L(t) = t - 2\sqrt{1 - 2t} - 2, \quad (63)$$

так что его скорость равна

$$\frac{dx_L}{dt} = 1 + \frac{2}{\sqrt{1 - 2t}}. \quad (64)$$

Для групповой скорости (60) находим на этом крае значение

$$v(1) = \frac{\sqrt{1 - 2t}}{\sqrt{1 - 2t} + 2}, \quad (65)$$

то есть ввиду соотношения (6) скорость этого края (64) равна фазовой скорости волны в этой точке:  $dx_L/dt = V = 1/v(1)$ . Это соответствует тому, что на крае с  $e \rightarrow 1$  имеется последовательность кинков (29), в которые вырождается в этом пределе периодическая волна (28): скорость кинка, очевидно, равна  $V = 1/v$ . Траектории краев нелинейного волнового пакета показаны на рис. 2, из которого видно, что пакет сжимается с течением времени.

Подстановка формул для  $x = x(e)$  и  $v = v(e)$  из (59), (60) в периодическое решение (28) дает нам вместе с (59) в параметрической форме профиль промодулированной волны в момент времени  $t$  (где мы пренебрегли, естественно, дополнительным медленным сдвигом фазы вдоль волновой структуры; см., например, [38]), и огибающие этого профиля, не зависящие от сдвига фазы, определяются, очевидно, формулой

$$a = \pm 2 \arcsin \sqrt{e(x)}. \quad (66)$$

Типичный такой профиль изображен на рис. 3 сплошной линией, а его огибающие (66) — штриховыми линиями.

Длина волны (4) для случая уравнения синус-Гордон выражается формулой

$$L = 4 \frac{\sqrt{1 - v^2(e)}}{v(e)} K(e). \quad (67)$$

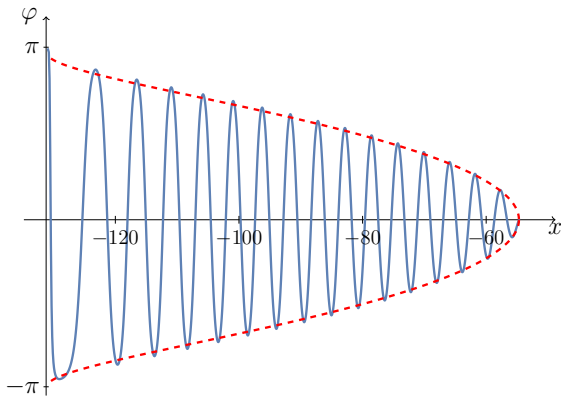


Рис. 3. Профиль волны в промодулированном нелинейном импульсе  $\varphi(x, t)$  при  $t = -100$

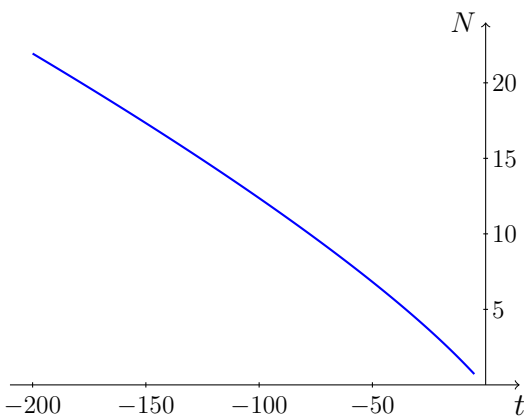


Рис. 4. Число колебаний в нелинейном волновом пакете в зависимости от времени

Естественно, для применимости модуляционной теории Уизема необходимо, чтобы длина волны  $L$  была много меньше, чем длина всей волновой структуры. С практической точки зрения можно заметить, что  $L$  стремится к бесконечности при  $v \rightarrow 0$ , а скорость правого края  $dx_R/dt = v(0)$  (62) обращается в нуль при  $t = -9/2$ . Следовательно, наше частное решение уравнений Уизема применимо только при  $t < 0, |t| \gg 5$ .

Число нелинейных колебаний в структуре приближенно равно

$$N \cong \int_{x_L}^{x_R} \frac{dx}{L} = \int_0^1 \frac{|dx/de|}{L(e)} de, \quad (68)$$

и, как видно из рис. 4, оно убывает со временем, становясь порядка единицы при  $t = -5$  на границе области применимости теории Уизема. Вывод об

уменьшении числа осцилляций в волновой структуре согласуется с тем, что в силу  $v < 1$  фазовая скорость  $V = 1/v(0)$  на правом крае всегда больше групповой скорости  $v(0)$  правого края, так что с течением времени волны покидают узловую область нелинейных колебаний через ее малоамплитудный край. Стоит отметить, что ситуация здесь противоположна теории дисперсионных ударных волн в модуляционно устойчивых системах [39], в которых волны входят в узловую нелинейную область через малоамплитудный край [40], что дает возможность вычислить число солитонов, образующихся из начальной интенсивной простой волны при асимптотически больших временах [41] (см. также [42–46]).

Отметим, что согласно формулам (42) изменение знака функции  $\mathcal{W}$  эквивалентно одновременному изменению знаков  $x$  и  $t$ . Следовательно, при изменении знака  $\mathcal{W}$  мы получим решение, описывающее расширение нелинейного волнового пакета с ростом  $t > 0$ , аналогичное формированию волновой структуры при распаде ступеньки в теории НУШ (см., например, [21–23,47]), однако в этом случае эволюция не является автомодельной и определение движения малоамплитудного края волновой структуры остается за пределами теории Уизема-Гуревича-Питаевского.

Эволюция нелинейных волновых пакетов, для описания которых в формуле (49) используются функции Лежандра второго рода, имеет качественно такой же характер, как и в случае многочленов Лежандра, и поэтому мы здесь не будем останавливаться на конкретных деталях.

## 6. ЗАКЛЮЧЕНИЕ

Как известно, методы газовой динамики могут быть с успехом применены для описания эволюции не только устойчивых, но также и неустойчивых систем (см., например, [14]). Создание модуляционной теории Уизема [17, 18], открытие метода обратной задачи рассеяния [48] и развитие общей теории систем гидродинамического типа [49] позволило распространить эти методы на обширную область теории дисперсионных ударных волн (см., например, обзоры [41, 50]). Хотя эти методы применимы и к модуляционно неустойчивым системам (см., например, работы [51–54] по теории уравнения синус-Гордон), тем не менее практические приложения модуляционной теории к однофазным волнам в неустойчивых системах пока ограничивались лишь частными



случаями типа «эволюции ступеньки» [21–23] (см. также [47] и приведенные там ссылки). Развитие области неустойчивости в неоднородных системах обсуждалось в работе [25] также только для малоамплитудного края и не затрагивало вопроса об эволюции параметров во всей области нелинейных осцилляций. В настоящей работе дано точное решение модуляционных уравнений Уизема для модуляционно неустойчивой нелинейной волны в модели синус-Гордона. Развитая теория показывает весьма нетривиальную эволюцию нелинейного волнового пакета, которая заключается в его сжатии, сопровождаемом уходом волн из области нелинейных осцилляций, так что за конечное время в этой области остается лишь малое число порядка единицы нелинейных колебаний. На этой стадии теория Уизема теряет свою применимость и вопрос о дальнейшей эволюции волнового импульса должен рассматриваться другими методами.

Можно предполагать, что предложенный здесь подход окажется эффективным и при обсуждении модуляционно неустойчивых для других вариантов нелинейного уравнения Клейна–Гордона, в частности для уравнения, описывающего возбуждение волн ветром (см. [55]) или уравнений, описывающих распространение электромагнитных волн в нелинейных средах (см., например, [56–58]).

**Благодарности.** Автор выражает благодарность С. Ю. Доброхотову, Е. А. Кузнецову и С. В. Сазонову за полезные обсуждения.

**Финансирование.** Работа выполнена при поддержке Российского научного фонда (грант N 19-72-30028).

## ЛИТЕРАТУРА

1. Г. А. Аскаръян, ЖЭТФ **42**, 1568 (1962).
2. Г. А. Аскаръян, УФН **111**, 249 (1973).
3. R. Y. Chiao, E. Garmire, and C. H. Townes, Phys. Rev. Lett. **13**, 479 (1964).
4. А. А. Веденов, Л. И. Рудаков, ДАН СССР **159**, 767 (1964).
5. В. Е. Захаров, ЖЭТФ, **62**, 1745 (1972).
6. Л. А. Островский, ЖЭТФ **51**, 1189 (1966).
7. T. V. Benjamin and J. E. Feir, J. Fluid Mech. **27**, 41 (1967).
8. В. Е. Захаров, ЖПМТФ, **9**, 86 (1968).
9. В. И. Таланов, Письма в ЖЭТФ **2**, 218 (1965).
10. С. А. Ахманов, А. П. Сухоруков, Р. В. Хохлов, ЖЭТФ **50**, 1537 (1966).
11. M. J. Lighthill, J. Inst. Math. Appl. **1**, 269 (1965).
12. W. D. Hayes, Proc. Roy. Soc. Lond. A **332**, 199 (1973).
13. А. В. Гуревич, А. С. Шварцбург, ЖЭТФ **58**, 2012 (1970).
14. С. К. Жданов, Б. А. Трубников, *Квазигазовые неустойчивые среды*, Наука, Москва (1991).
15. В. И. Карпман, Письма ЖЭТФ **6**, 829 (1967).
16. В. И. Карпман, Е. М. Крушкаль, ЖЭТФ **55**, 530 (1968).
17. G. B. Whitham, Proc. Roy. Soc. Lond. A, **283**, 238 (1965).
18. Дж. Уизем, *Линейные и нелинейные волны*, Мир, Москва (1974).
19. M. G. Forest and J. E. Lee, in: *Oscillation Theory, Computation, and Methods of Compensated Compactness*, ed. by C. Dafermos et al., IMA Volumes on Mathematics and its Applications, Vol. 2, (Springer, New York (1986).
20. М. В. Павлов, ТМФ **71**, 351 (1987).
21. А. М. Камчатнов, Phys. Lett. A **162**, 389 (1992).
22. G. A. El, A. V. Gurevich, V. V. Khodorovskii, and A. L. Krylov, Phys. Lett. A **177**, 357 (1993).
23. Р. Ф. Бикбаев, В. Р. Кудашев, Письма в ЖЭТФ **59**, 741 (1994).
24. G. Biondini and D. Mantzavinos, Phys. Rev. Lett. **116**, 043902 (2016).
25. А. М. Камчатнов and D. V. Shaykin, EPL **136**, 40001 (2021).
26. Э. Скотт, *Нелинейная наука. Рождение и развитие когерентных структур*, Физматлит, Москва (2007).
27. In: *The sine-Gordon Model and its Applications*, ed. by J. Cuevas-Maraver, P. G. Kevrekidis, F. Williams, Cham, Springer (2014).
28. В. П. Маслов, ТМФ **1**, 378 (1969).
29. С. Ю. Доброхотов, В. П. Маслов, Итоги науки и техн. Сер. Современ. пробл. мат. **15**, 3 (1980).

30. Л. Д. Ландау, Изв. АН СССР, серия физ. **17**, 51 (1953).
31. И. М. Халатников, ЖЭТФ **27**, 529 (1954).
32. В. Г. Носов, А. М. Камчатнов, ЖЭТФ **70**, 768 (1976).
33. А. М. Камчатнов, ЖЭТФ **156**, 689 (2019).
34. Л. Д. Ландау, Е. М. Лифшиц, *Гидродинамика*, Физматлит, Москва (2001).
35. Л. Д. Ландау, Е. М. Лифшиц, *Статистическая физика, часть 1*, Физматлит, Москва (2001).
36. М. Абрамовиц, И. Стиган, *Справочник по специальным функциям*, Наука, Москва (1979).
37. Э. Т. Уиттекер, Дж. Н. Ватсон, *Курс современного анализа*, т. II, Физматлит, Москва (1963).
38. С. Ю. Доброхотов, Д. С. Миненков, ТМФ **166**, 350 (2011).
39. А. В. Гуревич, Л. П. Питаевский, ЖЭТФ **65**, 590 (1973).
40. А. В. Гуревич, Л. П. Питаевский, ЖЭТФ **93**, 871 (1987).
41. А. М. Камчатнов, УФН **191**, 52 (2021).
42. G. A. El, A. Gammal, E. G. Khamis, R. A. Kraenkel, and A. M. Kamchatnov, Phys. Rev. A **76**, 053813 (2007).
43. G. A. El, R. H. J. Grimshaw, and N. F. Smyth, Physica D **237**, 2423 (2008).
44. A. M. Kamchatnov, Chaos **30**, 123148 (2020).
45. А. М. Камчатнов, ЖЭТФ **151**, 76 (2021).
46. L. F. Calazans de Brito, A. M. Kamchatnov, Phys. Rev. E **104**, 054203 (2021)
47. А. М. Камчатнов, Phys. Rep. **286**, 199, (1997).
48. В. Е. Захаров, С. В. Манаков, С. П. Новиков, Л. П. Питаевский, *Теория солитонов. Метод обратной задачи*, Физматлит, Москва (1980).
49. Б. А. Дубровин, С. П. Новиков, УМН **44**, 29 (1989).
50. G. A. El, M. A. Hoefler, Physica D **333**, 11 (2016).
51. M. J. Ablowitz, D. J. Kaup, A. S. Newell, and H. Segur, Phys. Rev. Lett. **30**, 1262 (1973).
52. Л. А. Тахтаджян, ЖЭТФ **66**, 476 (1974).
53. В. А. Козел, В. П. Котляров, ДАН УССР, сер. А **10**, 878 (1976).
54. P. G. Grinevich and S. P. Novikov, Comm. Pure Appl. Math. **56**, 956 (2003).
55. Е. А. Кузнецов, П. М. Лушников, ЖЭТФ **108**, 614 (1995).
56. С. В. Сазонов, Н. В. Устинов, Письма ЖЭТФ **83**, 873 (2006).
57. С. В. Сазонов, ЖЭТФ **146**, 483 (2014).
58. S. V. Sazonov and N. V. Ustinov, Phys. Rev. A **98**, 063803 (2018).